

大阪大学工学部 正員 前田幸雄
 大阪大学大学院 学生員 梶川靖治
 大阪大学工学部 G.J. MEDVED

1. えまがき すれ止めにスタッドを用いたプレストレスしない連續合成桁の疲労特性を明かにする為に行なった $\varnothing 3.0m = 6.0m$ の試験桁の疲労実験結果及び特に中间支点上の負モーメント域の性質を知る為に行なったスパン $5.0m$ の單純支持合成桁に負モーメントを加えた疲労実験結果と、昨年土木学会関西支部と大会、本年関西支部の講演会に発表した。本研究はえまがきの実験結果と主応力理論によつて評価し、疲労破壊と溶植部硬さ・作用応力の組合せ・繰返数・主応力面傾斜角等との関係を明かにせんとした。

2. 溶植部硬さ試験(図-1), SS41-200×200×10の鋼板

中央に中 19×100 のスタッドを溶植し、荷重 $10t$ で溶接金属熱影響部、母材のビッカース硬さの測定を行なつたが、最高値が硬化域で 230 前後であつて、特にスタッド又は母材への疲労核の進展に硬さが影響したとは考えられない。 $(1500A, 40\%)$

3. スタッド根元に働く諸応力(図-2), \bar{C}_x =合成桁の曲げによる鋼桁フランジ引張応力, Q =外力及びスラブ・鋼桁間の合成作用によつてスタッドに働くコンクリート断面の軸力, T_{xy} , $\bar{C}_y = Q$ によつて生ずるセン断応力とスタッドの曲げ応力。

(1) セン断カクの計算式: 単純桁の左支点を原点として x 軸と

とり、 u_1, u_2 は2集中荷重座標を示す。又 A_b, A_{hf} =夫々鋼桁及び鉄筋の断面積,

E =鋼材の弾性係数, J_b =鋼桁の断面2次モーメント, J_c =合成桁の重心に關する鋼断面の断面2次モーメント, L =桁支間長, γ =スラブと桁とのすれ量, β_c, β'_c =夫々不完全、完全合成桁の場合のスラブと桁の接觸面に働く単位

長當りの水平セン断力、とすれば $C = \frac{1}{\beta_c J_c} \cdot \frac{\pi^2 E A_b \cdot A_{hf} (A_b + A_{hf})^{-1} \gamma}{L^2 J_c} \cdot \frac{1}{\beta'_c}$,

$$0 \leq x \leq u_1 : \beta_c / \beta'_c = 1 - \left\{ \sinh \left[\frac{\pi x}{\sqrt{C}} (1 - \frac{u_1}{L}) \right] + \sinh \left[\frac{\pi x}{\sqrt{C}} (1 - \frac{u_2}{L}) \right] \right\} \cosh \left(\frac{\pi x}{\sqrt{C}} L \right) \left\{ \sinh \frac{\pi u_1}{\sqrt{C}} \right\}^{-1},$$

$$u_1 \leq x \leq u_2 : \beta_c / \beta'_c = \left\{ \cosh \left[\frac{\pi x}{\sqrt{C}} (1 - \frac{u_1}{L}) \right] - \cosh \left[\frac{\pi x}{\sqrt{C}} L \right] \right\} \sinh \left(\frac{\pi u_1}{\sqrt{C}} \right) \left\{ \sinh \frac{\pi u_2}{\sqrt{C}} \right\}^{-1}.$$

(2) フランジ応力の計算式: \bar{C}_x, \bar{C}'_x =夫々不完全、完全合成桁のフランジ縁端曲げ応力, y =鋼桁重心から引張フランジ縁端までの距離, Z =鋼桁と鉄筋の各重心間距離, i_c =鋼桁重心軸回りの鋼桁断面の回転半径

$$0 \leq x \leq u_1 : \bar{C}_x = \bar{C}'_x + \frac{yz + i_c^2}{J_b} \frac{A_{hf} A_b Z P L}{A_{hf} + A_b} \cdot \frac{\sqrt{C}}{\pi} \left\{ \sinh \left[\frac{\pi x}{\sqrt{C}} (1 - \frac{u_1}{L}) \right] + \sinh \left[\frac{\pi x}{\sqrt{C}} (1 - \frac{u_2}{L}) \right] \right\} \frac{\sinh \frac{\pi u_1}{\sqrt{C}}}{\sinh \frac{\pi u_2}{\sqrt{C}}}$$

$$u_1 \leq x \leq u_2 : \bar{C}_x = \bar{C}'_x + \frac{yz + i_c^2}{J_b} \frac{A_{hf} A_b Z P L}{A_{hf} + A_b} \cdot \frac{\sqrt{C}}{\pi} \left\{ \sinh \left[\frac{\pi x}{\sqrt{C}} (1 - \frac{u_1}{L}) \right] + \sinh \left[\frac{\pi x}{\sqrt{C}} L \right] \right\} \frac{\sinh \frac{\pi u_1}{\sqrt{C}}}{\sinh \frac{\pi u_2}{\sqrt{C}}}$$

(3) スタッドの曲げ応力 \bar{C}_y は弾性床の中に埋めこまれた杭の頭が固定され、杭頭に曲げモーメントとセン断力が働く条件から求め得る。

$$(4) 主応力 \bar{C}_p の計算式: $\bar{C}_p = \frac{\bar{C}_x + \beta_c / \beta'_c \cdot \bar{C}_y}{2} + \left[\left\{ \frac{\bar{C}_x - \beta_c / \beta'_c \cdot \bar{C}_y}{2} \right\}^2 + \left(\frac{\bar{C}_y}{\beta_c}, T_{xy} \right)^2 \right]^{\frac{1}{2}}$,$$

$$\bar{C}_y の影響が小さい時は $\bar{C}_p = \frac{\bar{C}_x}{2} + \left(\frac{\bar{C}_x}{2} \right)^2 + T_{xy}^2 \right)^{\frac{1}{2}}, \tan \varphi = 2 T_{xy} / \bar{C}_x$$$

図-1.

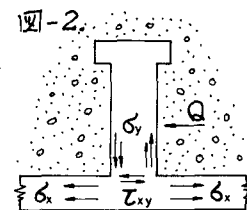
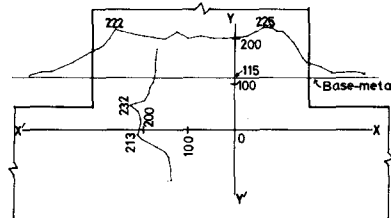
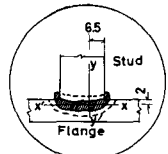
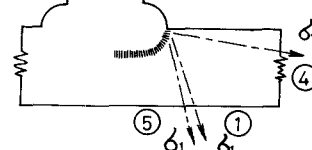


図-3.



4. セン断応力振幅 τ_R と繰返数 N の関係 著者等の実験結果と米国諸大学での実験結果を τ_R と N の関係で比較すると、図-4 及び図-5 の如くで、単純桁の結果はかなり低く、連續合成桁ではほぼ下限値に近い値を示している。

5. 主応力振幅 $\sigma_{p,range}$ と繰返数 N の関係 図-6 に示したもののは単純桁の実験結果とスタッド溶植鋼板が繰返し引張と引ける場合のイリノイ大学での実験結果と比較したもので、 τ_R の存在の有無による影響が明かである。

6. 連續合成桁に於けるスタッドの破壊 負モーメント域にスタッドを有する G1-2 桁と有しない G2-1 桁（繰返荷重は $P_{max} = 15t$, $P_{min} = 6t$ ）について、各スタッドの破壊の特性は図-7 に示した如くである。負モーメント域にスタッドを配置ある事により腹曲奥近傍のスタッドに働くセン断力と軽減し、その疲労破壊の発生を遅らせる事ができる。

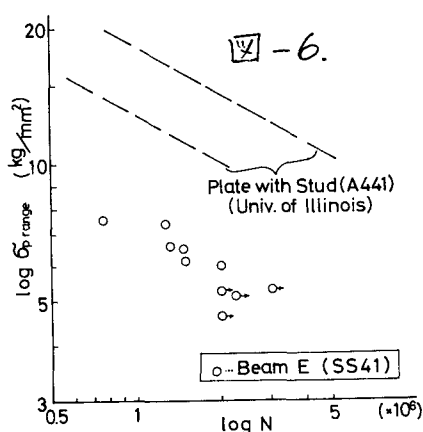


図-6.

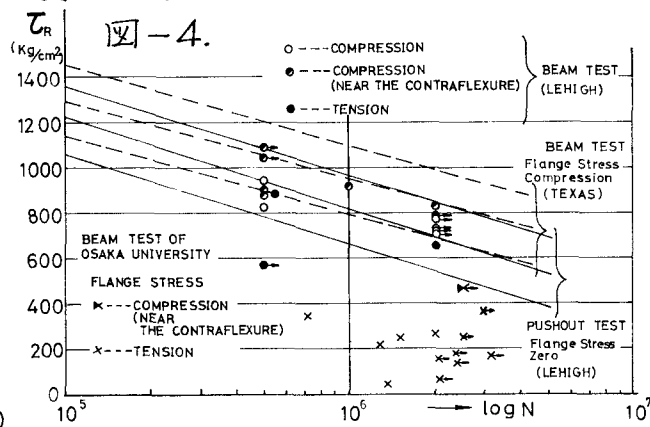


図-4.

7. 主応力振幅 $\sigma_{p,range}$ と主応力振幅面の傾斜角 ϕ この两者によつて実験結果を説明する、図-8 の如くであつて、200万回以上の繰返数に対して引張フランジに疲労亀裂を生じない主応力振幅の限界値は凡そ 550 kg/cm^2 であり、それ以上の値に達しては主応力振幅面の傾斜角は凡そ $35^\circ \sim 45^\circ$ が限界の角度となる。

図-7.

